Figure S8

A

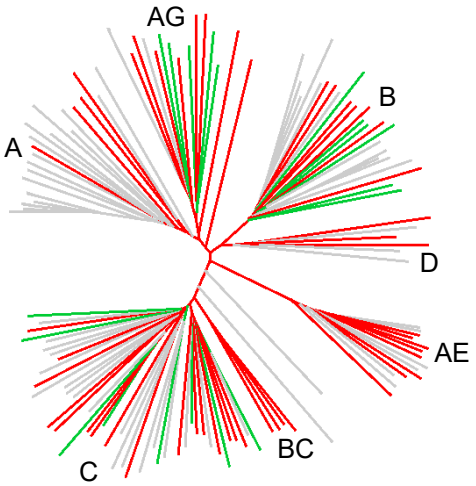

B

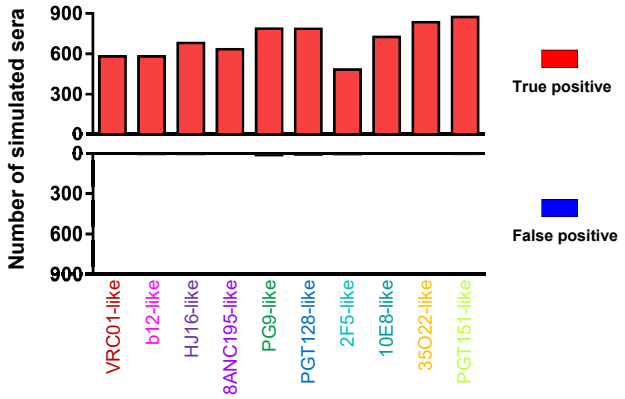

C

Plasma	VRC01-like	b12-like	HJ16-like	8ANC195-like	PG9-like	PGT128-like	2F5-like	10E8-like	35O22-like	PGT151-like	Neut breadth (%)	Residual score	Frequency of random signals	Median of delineation scores
BWH_HIV-023	0.08	0.03	0.06	0.23	0.12	0.36				0.11	42%	-0.26	0.0038	0.0696
SA-C75	0.10	0.08			0.35	0.14		0.14		0.19	40%	-0.26	0.0079	0.0862
C520		0.03		0.07	0.18		0.11	0.43	0.08	0.09	40%	-0.24	0.0175	0.0758
705010121				0.04	0.03	0.22	0.08	0.45		0.18	32%	-0.23	0.0755	0.0352
I230		0.17			0.21	0.31	0.07	0.06		0.18	30%	-0.21	0.0695	0.0654
F432b			0.20			0.24	0.08	0.37		0.11	34%	-0.17	0.0764	0.0420
P400				0.03	0.10	0.32	0.31	0.12	0.03	0.08	30%	-0.14	0.1058	0.0543
B520		0.04	0.01	0.13	0.15	0.10		0.31	0.26		36%	-0.13	0.0526	0.0695
G230		0.09		0.02	0.18	0.12	0.06	0.35		0.16	38%	-0.12	0.0649	0.0770
B200	0.10	0.02		0.07	0.05	0.18	0.30		0.15	0.13	36%	-0.11	0.0650	0.0832
M263			0.18	0.02	0.22	0.01	0.15	0.28		0.14	36%	-0.11	0.0729	0.0791
A320	0.17	0.16	0.02		0.13	0.03		0.32	0.18		62%	-0.11	0.0065	0.0800
B650d					0.13	0.09	0.19	0.40	0.05	0.15	34%	-0.11	0.1405	0.0690
V563		0.10			0.29	0.07		0.32		0.23	40%	-0.10	0.0653	0.0329
SA-C37		0.18				0.13		0.40	0.14	0.15	44%	-0.09	0.0416	0.0680
BWH_HIV-025			0.17		0.04	0.09		0.36	0.11	0.23	44%	-0.08	0.0386	0.0655
L563		0.27			0.20	0.04	0.09	0.17		0.24	46%	-0.08	0.0355	0.0654
702010118		0.12			0.26	0.13		0.35		0.14	40%	-0.08	0.0839	0.0599
T500107_357545	0.04		0.08	0.05	0.27	0.12	0.11	0.10	0.23		98%	-0.07	0.0057	0.0904
F455b				0.12	0.15	0.48	0.20	0.05			66%	-0.07	0.0058	0.0252
SA-C90					0.18	0.37		0.25		0.19	62%	-0.06	0.0133	0.0000
T500106_501602	0.32		0.16		0.09		0.18	0.25			86%	-0.06	0.0085	0.0451
S200c	0.16			0.25		0.14		0.34		0.11	54%	-0.06	0.0210	0.0543
CBJA017		0.09			0.26	0.19		0.40		0.05	74%	-0.06	0.0144	0.0273
T500104_256254	0.30	0.03		0.06	0.34		0.05	0.15	0.07		88%	-0.06	0.0106	0.0582
C650b			0.22	0.07	0.17			0.27	0.11	0.15	58%	-0.06	0.0142	0.0933
S640		0.12		0.15	0.03	0.14		0.50		0.05	78%	-0.06	0.0249	0.0383
L000b			0.13	0.06	0.06	0.19	0.06	0.29	0.11	0.09	32%	-0.05	0.1820	0.0783
705010528		0.01			0.22	0.30		0.30		0.16	42%	-0.05	0.0678	0.0055
T500207_503006					0.08		0.27	0.47	0.18		58%	-0.05	0.0421	0.0000
K560		0.03		0.17	0.19	0.30	0.05	0.22		0.05	88%	-0.04	0.0077	0.0500
CBJA552			0.11		0.38	0.16		0.14		0.20	88%	-0.04	0.0104	0.0555
CBJC485		0.24		0.22	0.04	0.03		0.42		0.05	76%	-0.04	0.0120	0.0353
100248			0.11		0.27			0.27	0.04	0.31	86%	-0.04	0.0087	0.0189
SA-C18		0.19	0.15		0.27	0.12		0.24		0.03	44%	-0.04	0.0543	0.0758
707010562	0.33	0.05			0.30	0.18	0.04	0.10			96%	-0.04	0.0109	0.0417
CBJA561		0.08			0.33	0.24		0.27		0.08	74%	-0.03	0.0135	0.0384
SA-C2		0.13			0.26	0.36		0.22		0.03	82%	-0.03	0.0085	0.0148
BWH_HIV-024		0.13	0.08	0.15		0.35		0.16		0.13	40%	-0.02	0.1016	0.1028
707010627	0.04	0.06		0.06	0.09	0.03	0.04	0.45	0.20	0.01	42%	-0.02	0.1180	0.0513
R163b	0.12				0.18		0.38	0.31			82%	-0.01	0.0208	0.0056
703010085					0.28	0.12		0.41	0.19		52%	-0.01	0.0569	0.0000
703010180					0.31	0.28	0.13	0.28			78%	-0.01	0.0201	0.0000
C550		0.05	0.07		0.20	0.02	0.17	0.35	0.09	0.06	40%	-0.01	0.1470	0.0638
G652	0.09		0.10	0.35			0.20	0.26			92%	0.00	0.0289	0.0451
A530	0.03	0.15			0.21	0.20		0.22		0.19	66%	0.00	0.0152	0.0917
T500104_276248	0.11		0.13		0.27		0.31	0.12	0.05		80%	0.02	0.0285	0.0794

Plasma	VRC01-like	b12-like	HJ16-like	8ANC195-like	PG9-like	PGT128-like	2F5-like	10E8-like	35O22-like	PGT151-like	Neut breadth (%)	Residual score	Frequency of random signals	Median of delineation scores
CBJA557		0.38			0.29			0.30		0.03	46%	0.02	0.1114	0.0000
707010598		0.19			0.49	0.10		0.22			92%	0.02	0.0326	0.0008
N341		0.09			0.19	0.19		0.46	0.05	0.02	94%	0.02	0.0298	0.0352
M520c		0.09			0.39	0.09		0.20		0.22	80%	0.03	0.0315	0.0453
707010258		0.15			0.19	0.11		0.34	0.15	0.06	64%	0.03	0.0247	0.0845
SA-C72	0.14	0.04			0.19	0.16		0.32		0.15	76%	0.03	0.0163	0.0912
T500105_293735			0.03		0.29		0.13	0.38	0.17		78%	0.03	0.0356	0.0130
703010479		0.07			0.39	0.09		0.33		0.12	78%	0.03	0.0371	0.0388
SA-C44	0.06				0.30	0.11		0.22	0.18	0.12	82%	0.04	0.0171	0.0853
CBJA563				0.06	0.51	0.19		0.15	0.08		92%	0.04	0.0583	0.0355
N242	0.22	0.13	0.04		0.14	0.03		0.07	0.17	0.19	42%	0.04	0.1406	0.1011
SA-C36	0.15	0.12			0.19	0.25		0.07		0.21	62%	0.04	0.0325	0.0970
T500208_504258	0.11		0.05		0.26		0.14	0.28	0.15		68%	0.05	0.0361	0.0783
T500204_502281					0.21		0.13	0.30	0.37		78%	0.05	0.0288	0.0000
705010270		0.05		0.06	0.22	0.24	0.08	0.25	0.10		46%	0.05	0.1112	0.0667
G435		0.21	0.09		0.09	0.17	0.12	0.24		0.08	38%	0.06	0.1966	0.0905
CBJA556		0.23			0.46	0.11		0.20			58%	0.07	0.1066	0.0000
100206				0.03	0.08	0.07		0.44	0.37		94%	0.08	0.0535	0.0174
B622	0.31		0.12			0.17	0.12	0.28			64%	0.08	0.0623	0.0577
T500105_500617					0.16		0.20	0.30	0.34		76%	0.08	0.0423	0.0000
CBJA555		0.20			0.23	0.07		0.40	0.03	0.07	78%	0.09	0.0587	0.0494
SA-C8					0.23	0.24		0.27		0.25	86%	0.09	0.0352	0.0000
J520			0.27	0.03	0.13	0.21		0.27	0.08		94%	0.10	0.0363	0.0562
M260	0.08		0.06		0.18			0.32	0.23	0.13	90%	0.10	0.0409	0.0695
B650c	0.08	0.18	0.04		0.17	0.14		0.29		0.10	72%	0.10	0.0402	0.0909
A530b	0.17		0.17			0.13	0.17	0.28	0.02	0.07	82%	0.11	0.0425	0.1026
S321	0.17			0.09	0.38	0.19	0.05	0.08	0.04		68%	0.11	0.0835	0.0666
P362b			0.19		0.13	0.16	0.06	0.09	0.10	0.27	44%	0.11	0.1561	0.0943
G510		0.04	0.23		0.22	0.09	0.14	0.28			68%	0.12	0.0635	0.0679
100239			0.13		0.21	0.25		0.07		0.33	82%	0.12	0.0511	0.0353
T500108_503963				0.04	0.16	0.12	0.01	0.40	0.27		74%	0.12	0.0839	0.0281
SA-C74					0.22	0.37		0.35		0.05	80%	0.13	0.0927	0.0000
CBJC502		0.05		0.21	0.08	0.15		0.36		0.16	94%	0.13	0.0652	0.0604
O325	0.01				0.21	0.31	0.07	0.34	0.05	0.01	70%	0.14	0.0855	0.0325
T500207_509989			0.07		0.19			0.39	0.22	0.13	82%	0.14	0.0762	0.0335
703010102	0.09				0.20	0.29	0.02	0.23	0.14	0.03	86%	0.14	0.0540	0.0608
SA-C82		0.20				0.24		0.29	0.02	0.24	66%	0.14	0.0863	0.0120
SA-C3		0.30			0.27	0.16		0.18		0.09	86%	0.15	0.0686	0.0450
N320b		0.03	0.06		0.10	0.10	0.23	0.32		0.16	54%	0.16	0.1764	0.0790
SA-C62		0.09			0.21	0.17		0.27	0.09	0.15	72%	0.16	0.0750	0.0912
703010588	0.08	0.16			0.35	0.26	0.04	0.09	0.01		64%	0.17	0.1223	0.0587
703010073	0.05	0.30			0.32	0.04		0.29			74%	0.18	0.1069	0.0193
M153		0.15		0.01	0.25	0.27	0.15	0.16			54%	0.19	0.1683	0.0813
CBJC507		0.07		0.14	0.15	0.18		0.36	0.04	0.06	84%	0.20	0.1140	0.0633
S263					0.19	0.16	0.15	0.34	0.06	0.09	72%	0.22	0.1496	0.0794
SA-C76					0.24	0.14		0.23	0.12	0.27	96%	0.22	0.1112	0.0616